

الموازنة المائية في حوض نهر قويق

طارق نمورة¹, د. ناظم عيسى², د. حسام حاج حسين³

الملخص

أدت العوامل الطبيعية والبشرية والسياسية إلى تغير كبير في تصريف نهر قويق، ونظرًاً لعدم وجود محطات هيدرولوجية لقياس تصريف النهر، وصعوبة تقديرها كون منابع النهر تقع في تركيا ولوهود عدة سدود على مجرى النهر (اثنان منها في تركيا)، فقد تم الاعتماد على بيانات مناخية لعدة محطات والتي عولجت بياناتها باستخدام برمجية (Excel 2013) وبرمجية (Aqua crop).

حسبت قيم التبخر - النتح الكامن بطريقة إيفانوف لكل من محطات (أعزاز، سد شهبا، المسلمية، معرب النعمان، حلب، كلس) وكانت النتائج (أعزاز، 1611.8، 1657.6، 1683.0، 1892.1، 1890.3، 1783.6، 1980.3) ملم/ سنة على التوالى، وكذلك أظهرت النتائج تباينات في قيم تصريف النهر عند حسابها بالاعتماد على المعادلات التجريبية وهي معادلات ديكنز ورايف وإنجليس وبيرد - ماكوارن وفيكل التي أظهرت تباينات كبيرة، وكان حجم الجريان السنوي المحتسب بمعادلة بيركلي 0.18 مليار متر مكعب والتغذية الجوفية 1.92 مليار م³، وأظهرت قيم نموذج سنایدر أنه لا وجود لأي خطورة من سيول حوض قويق.

الكلمات المفتاحية: حلب، نهر قويق، التبخر - النتح الكامن، الموازنة المائية، التغذية الجوفية، نموذج سنایدر.

¹ طالب دكتوراه، قسم الجغرافيا، كلية الآداب والعلوم الإنسانية، جامعة دمشق.

² أستاذ دكتور، قسم الجغرافيا، كلية الآداب والعلوم الإنسانية، جامعة دمشق.

³ دكتور، إدارة بحوث الموارد الطبيعية، الهيئة العامة للبحوث العلمية الزراعية، دمشق.

Water Balance of Quweiq River Basin

Abstract

Natural, human and political factors led to a big change in drainge of Quweiq River, and because hydrological stations is absent to measure the drainge of the river, and the difficulty of appreciation it that the headwaters of the river located in Turkey and the presence of several dams on the river bed (two of them in Turkey), Several station Climate data were used and data processed using (Excel 2013) and (Aqua crop).

Potential Evapotranspiration values Calculated in Ivanov method for (Isas, Sad Shahba, Almuslemya, Maarat Alnumman, Aleppo, Kilis) and the results were respectively (1611.8, 1657.6, 1683, 1892.1, 1783.6, 1980.3) mm/year, also drainge river were calculated based empirical equations, (Dickens, Ryves, Inglis, Bird-McWarn, and Finkel), and the results were very variation, and the volume of annual runoff was calculated by Brickle equation 0.18 billion m³and Ground Water Recharge 1.9 billion m³, and the values of Snyder's Model showed that there is no risk of flood of Quweiq River.

Keyword: Aleppo, Quweiq River, Water Balance, Potential Evapotranspiration, Ground Water Recharge, Snyder's Model.

المقدمة:

تؤثر الزيادة السكانية المرتفعة في المناطق الجافة وشبه الجافة في زيادة الاحتياج الفردي من المياه بأشكاله المختلفة نتيجة للتطور الاقتصادي والاجتماعي، وبالتالي يزداد الطلب على الموارد المائية المتاحة والمحدودة في هذه المناطق، مما يؤدي إلى استنزاف الموارد المائية بشكل متتابع ولا سيما الموارد المائية الجوفية. تعتبر سوريا من الدول الفقيرة مائياً (عيسى، 2012)⁽¹⁾ حيث ينخفض نصيب الفرد السنوي من المياه بشكل تدريجي (حالياً 700 م³/سنة) (عيسى، 2012)⁽²⁾ نتيجة تراجع الواردات المائية من جهة والزيادة السكانية من جهة أخرى.

تغيرت هيدرولوجية حوض نهر قويق من اللحظة الأولى التي بدأ الإنسان فيها بالاستيطان في منطقة الدراسة منذ بداية فترة الهولوسين (Holocene) كما أظهرت الدراسة التي قام بها (Willcox, 2008)⁽³⁾ في موقع تل القرامل شمال حلب، حيث قام باستعمال المياه السطحية والجوفية، مما أحدث تغييرًا في هيدرولوجية الحوض. وتعزز الموازنة المائية للحوض الساكن بأنها العلاقة بين الأمطار الهاطلة ومجموع ما يفقد من الحوض من مياه بأشكال مختلفة (Schwartz and Domenic, 1998)⁽⁴⁾، واعتبر سليم، (1996)⁽⁵⁾ الحوض النهري منظومة مفتوحة تستطيع فيه المادة والطاقة الانتقال بحرية بين أجزاء المنظومة، أو بين المنظومة والمنظومات المجاورة، والاتجاه من المنبع إلى المصب هو اتجاه انقال المادة والطاقة في النظم النهرية.

(١) عيسى، مريم: الميزانية المائية في سوريا وأفاقها المستقبلية من عام 1992-2008، 2009 ولغاية 2025، ص 552.

(2) عيسى، مريم، المرجع السابق، ص 552.

(3) Willcox, George:Early Holocene cultivation before domestication in northern Syria, p152.

(4) Domenico, P. A. and Schwartz, F. W: Physical and Chemical Hydrogeology. John Wiley and Sons Inc, P 506.

(5) صيري، سليم: الجغرافية الطبيعية (أسس ومفاهيم حديثة)، ص 23.

وقد بنيت معادلة الموازنة المائية على افتراض أساسى وهو أن المدخلات والمخرجات من النظام متساوية وفي حالة حدوث أي تغير ناتج عن زيادة أو نقصان في أحد أو كلا هذين العنصرين فإن الفرق سيولد تغيراً في خزين الحوض من مياه سطحية أو جوفية على مستوى فترة زمنية محددة (Schwartz and Domenic, 1998)⁽¹⁾.

تعد الصيغ الوضعية التجريبية المستخدمة لحساب الجريان والتغذية الجوفية والتصريف صيغة محلية تعتمد بالدرجة الأولى على الارتباط بين الخصائص المناخية والخصائص الشكلية والتصريسية للحوض وفي مقدمتها المساحة وثوابت واضعي هذه المعادلات، ولكنها في النهاية تعتبر صيغة تصلح للتطبيق على الأحواض التي اشتقت منها هذه الصيغ وما يشبهها من أحواض من حيث الشكل والتصرير والمناخ.

تستخدم المياه في حوض قويق بالدرجة الأولى في الزراعة تليها الاستخدامات المنزلية والشرب ثم الاستخدامات الصناعية، وتتأتي أهمية حساب الموازنة المائية لنهر قويق نتيجة وقوعه في منطقة شبه جافة، والتحكم في الحوض الأعلى من النهر بشكل تام من قبل الجانب التركي، حيث قطعت مياهه من قبل الأتراك عام 1920 (عبد السلام، 1990)⁽²⁾، بالإضافة إلى إقامة سددين في تركيا بما سد سيفي عام 2005 وسد قوناق عام 2006، وجود أكبر تجمع صناعي وثاني تجمع سكاني في سوريا ضمن هذا الإقليم وهو تجمع حلب الكبرى وريفها، بالإضافة إلى الاستهلاك الكبير للمياه في الزراعة.

واعتماداً على بيانات المكتب المركزي للإحصاء في سوريا فقد سجل العام 1958 تصريفاً متوسطاً بلغ $2.5 \text{ m}^3/\text{ث}$ ، ليصل إلى $5 \text{ m}^3/\text{ث}$ عام 1973، ثم بدأ بالانخفاض بين أعوام (1982 - 1987) حيث كان التصريف الوسطي $0.3 \text{ m}^3/\text{ث}$ ، والفترة من (1997 - 2000) $3.4 \text{ m}^3/\text{ث}$ ، وبدأت القيمة بالازدياد التدريجي من $1.7 \text{ m}^3/\text{ث}$ عام 2002 إلى $5.13 \text{ m}^3/\text{ث}$ عام 2009 الذي تم فيه تدشين قناه صناعية تسمح بتصريف $4 \text{ m}^3/\text{ث}$ من

(1) Schwartz and Domenic(1)، مرجع سابق، ص506.

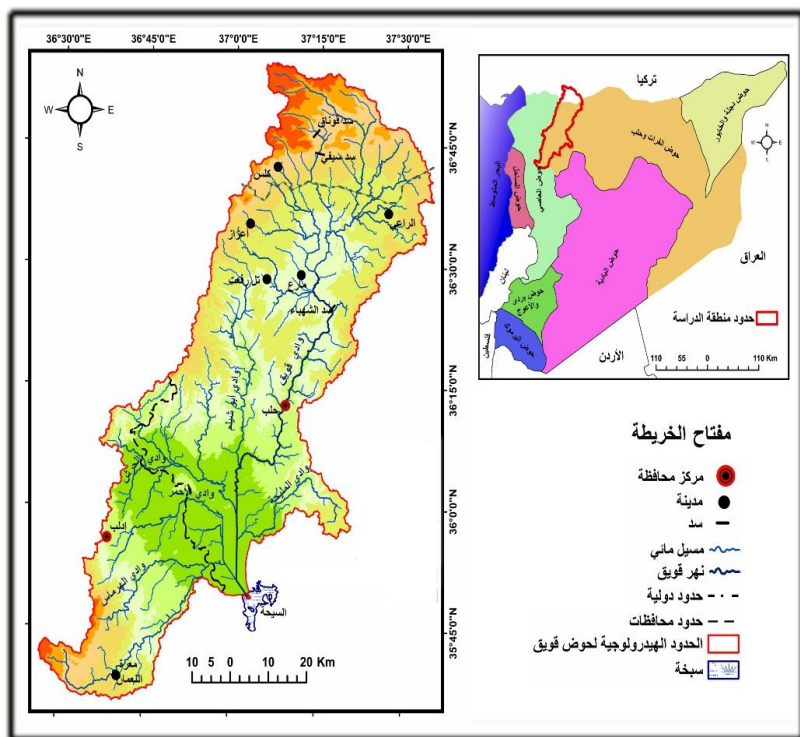
(2) عبد السلام، عادل: الأقاليم الجغرافية السورية، ص90.

بحيرة الأسد إلى نهر قويق تستخدم لتزويد النهر بمياهه زمن الجفاف من منتصف نيسان وحتى نهاية آب، وبسبب عدم وجود محطة هيدرولوجية لقياس حجم الجريان في حوض قويق تم اللجوء إلى الاعتماد على المعادلات التجريبية لقياس حجم الجريان السطحي.

منطقة الدراسة:

تم تحديد حدود حوض قويق والذي يشغل الجزء الغربي من حوض حلب الهيدرولوجي، ويمتد بين درجتي طول (37° و 36°) شرقاً، ودرجتي عرض (36° و 35° شمالي، و 34° و 35° شمالي)، ويحده من الشرق حوض نهر الذهب الذي يُؤلف الجزء الشرقي من حوض حلب، ومن الغرب حوض العاصي، ومن الشمال الأراضي التركية، ومن الجنوب حوض الباذية، وقد تم حساب مساحته اعتماداً على نموذج الارتفاع الرقمي DEM-STRM (DEM 90m)، ثم عولجت البيانات بتوسيع ArcHydro ضمن نظام ArcGIS حيث بلغت المساحة 5831 كم^2 يقع حوالي 900 كم^2 من مساحته ضمن الأراضي التركية وبالتالي يعتبر من الأحواض المشتركة، وبشكل عام فإنَّ أراضي حوض قويق غير مشوحة بنائياً، وتسيطر عليها الصخور الرسوبيَّة ضعيفة الميل.

الشكل (1) خريطة موقع وحدود حوض قويق



(عمل الباحث بالاعتماد على نموذج الارتفاع الرقمي وخرائط الأحواض الهيدرولوجية في سوريا).

مشكلة البحث:

تتجلى مشكلة البحث في ازدياد الطلب على المياه في حوض قويق والذي يعتبر الحوض الأهم في شمال سوريا وذلك لوجود أكبر تجمع بشري ضمن هذا الحوض (مدينة حلب وريفها) بالإضافة إلى وجود أكبر مجمع صناعي فيه أيضاً (مدينة الشيخ نجار)، وصعوبة تلبية الاحتياجات المائية المتزايدة، وبروز الدور السياسي كعامل مؤثر

في تصريف نهر قويق نتيجة السياسة التركية التي تشكل تهديداً دائماً لموارد الإقليم منذ عام 1920.

أهداف البحث:

سعى البحث لتحقيق الأهداف الآتية:

- 1- تقدير الموازنة المائية السطحية لحوض قويق.
- 2- تقدير خطورة السيول في الحوض باستخدام نموذج سنایدر.

مناهج البحث:

استخدمت في البحث المناهج الآتية:

- 1- منهج حل المشكلات الذي يساعد على تحديد المشكلة وحلها.
- 2- الأسلوب الرياضي الذي تجلى من خلال تطبيق العديد من العلاقات الرياضية ذات الصلة بالموازنة المائية ومدخلات نموذج سنایدر.

الدراسات السابقة:

جرت عدة دراسات هيدرولوجية لحوض حلب وكان أهمها الدراسة التي تمت من قبل المعهد الجيولوجي لتصميم المنشآت المائية عام (1979)، ودراسة (JICA، 1997)، ودراسة (عيسى، 2012)، ودراسة (UN-ESCWA and BGR, 2013)، وبينت معظم الدراسات السابقة أن حوض حلب يعاني من عجز مائي، ولكن عندما تتم دراسته بالاعتماد على التقسيم الهيدرولوجي للأحواض المائية في سوريا فإن الميزان المائي سيظهر نتائج إيجابية لأنّه سيدمج مع حوض الفرات، في حين أن واقع الموازنة المائية مختلف ما بين أجزاء الحوض.

كما أن العجز متبادر ملحوظاً في حوض قويق سواءً في أحراشه الواقع ضمن الأراضي السورية أو تلك الواقعة في تركيا، ولذلك لا تعبّر معادلة الموازنة المائية عن الواقع المكاني الحقيقي في الحوض، ويعود ذلك لعدة أسباب أهمّها استحواذ دولة المطبع على قسم كبير من مياه نهر قويق واستخدامها في أنشطة اقتصادية مختلفة وأهمّها الزراعة، بالإضافة إلى

أن الأمطار الهاطلة فوق الحوض تتناقص من الشمال إلى الجنوب فتكون أكبر في أراضي المنبع، حيث بلغ المتوسط السنوي للأمطار في محطة كلس الواقعة بجوار الحوض 514 ملم/سنة ضمن الأراضي التركية، بزيادة 186 ملم/سنة عن المتوسط السنوي للهطل في محطة حلب، وكذلك تتناقص الأمطار من الغرب إلى الشرق، فمحطة دانا (باب الهوى) الواقعة غرب الحوض كان معدل الأمطار السنوي فيها 395.7 ملم بينما في محطة حلب المشتبأ التي تقع شرقها وتبعد عنها حوالي 35 كم كان معدل الهطل السنوي فيها 356.8 يضاف إلى ذلك استخدام المياه الجوفية عن طريق الضخ من الآبار من العوامل المائية المختلفة، وأيضاً الفوائد في شبكات الري والشرب وعدم الترشيد.

أولاً: الموازنة المائية:

تؤثر العوامل الجغرافية الطبيعية والعوامل السياسية في عناصر الموازنة المائية، وهمما الوارد المائي والفاقد المائي:

بإهمال الجريان الجوفي العميق يمكن التعبير عن معادلة الموازنة المائية بالشكل التالي:

$$P = E + R \pm \Delta W$$

حيث أنّ: P: الهطل، E: التبخر، R: الجريان، ΔW : التغير في المخزون المائي.
وبالتالي فإن كمية الأمطار هي المدخل الرئيس عند حساب الموازنة المائية، بينما يمثل التبخر كمية المياه المفقودة من السطوح المائية والتربة، ودرست الموازنة المائية من بداية العام الهيدرولوجي الذي يبدأ في بداية الشهر العاشر (OCT) وينتهي في نهاية الشهر التاسع (SEP).

مدخلات معادلات الموازنة المائية:

تعتبر كمية الأمطار المدخل الرئيس عند حساب الموازنة المائية لأي حوض، بينما يمثل التبخر كمية المياه المفقودة من السطوح المائية والتربة، وقد تم الحصول على بيانات لأربع محطات داخل حوض قويق هي: أعزاز، سد شهبا، المسلمية، معرة النعمان، ومحطتين مجاورتين له هما: حلب، كلس.

1- حساب التبخر - النتح الكامن الشهري (Potential Evapotranspiration) (1) يعرف التبخر - النتح الكامن (FAO, 1977) بأنه أقصى كمية من البخار التي يمكن أن تتطلق من مساحة معينة من الأرض إلى الجو تحت تأثير العوامل الجوية الخاصة بتلك المنطقة، إنَّ تعريف النتح والتبخر المرجعي مبني على قياس كمية المياه المفقودة من حقل مغطى تماماً بعشب ينمو بشكل نشط، ويعتبر التبخر - النتح أحد الأركان الأساسية في الدراسات الهيدرولوجية والمناخية لأنَّه يحدد درجة الاحتياج المائي للمحاصيل، كما أنه يشكل أحد أهم المدخلات في معادلات حساب العجز المائي والتصنيف المناخي. تم حساب قيم التبخر للمحطات المختارة اعتماداً على معادلة إيفانوف التالية⁽²⁾ والتي تستخدم لحساب التبخر في البيانات الجافة وشبه الجافة.

$$E = 0.0018(25 + t)^2(100 - H)$$

حيث أنَّ P: الأمطار، E: التبخر - النتح الكامن، t: متوسط الحرارة الشهرية بالدرجة المئوية، H: متوسط الرطوبة النسبية الشهرية.

الجدول (1) قيم التبخر بحسب معادلة إيفانوف لكل من محطات أعزاز وسد شهبا والمسلية وإدلب ومعرة النعمان وحلب وكلس.

السنوي	SEP	AUG	JULY	JUNE	MAY	APR	MAR	FEB	JAN	DEC	NOV	OCT	المحطة
1611.8	210.9	225.1	221.7	215.5	164.7	112.4	78.7	52.9	40.8	44.3	86.0	158.8	أعزاز
1657.6	236.0	238.1	241.3	227.1	177.1	112.6	75.8	49.6	35.2	41.3	62.4	161.3	سد شهبا
1683.0	227.5	258.1	261.5	246.6	174.1	106.8	68.4	43.4	30.8	35.8	75.0	155.1	المسلية
1892.1	251.5	313.9	324.1	286.9	202.2	117.7	69.5	41.6	27.7	32.8	65.7	158.3	معرة النصان
1783.6	233.6	270.8	277.6	261.5	191.0	118.5	72.0	46.3	31.8	35.3	79.7	165.6	حلب
1980.3	271.4	296.1	296.7	258.2	192.0	134.2	87.3	53.2	38.7	50.0	104.5	197.8	كلس

(1) FAO: Crop water requirement. Irrigation and Drainage paper No.24, p 156.

(2) موسى، علي: التصرير، ص 33.

2- حساب التبخر نتح الحقيقى (Actual Evapotranspiration)

يعرف التبخر نتح الحقيقى (السمنى، 2013)⁽¹⁾ بأنه كمية المياه المفقودة من التربة والنبات في حالة رطوبتها الطبيعية وهو في الغالب أقل أو يساوى التبخر - النتح الكامن. ويمكن قياسه بعدة طرق أهمها معادلة تورك وهي أشهر المعادلات لقياس التبخر نتح الحقيقى (Turce, 1955)⁽²⁾ والتي تعطى بالشكل:

$$ETR = \frac{P}{\sqrt{0.9 + \left(\frac{P^2}{L^2}\right)}}$$

$$L = 300 + 25T + 0.05T^3$$

حيث أنّ: p: الهطل المطري السنوى (ملم)،

T: متوسط درجة الحرارة السنوية مقدّرة بالدرجة المئوية.

كما ويمكن تقدير التبخر - النتح الحقيقى كمالي: يكون التبخر نتح الكامن مساوياً للتبخر - النتح الحقيقى (ETA=ETO) في المدة التي يكون فيها مجموع الأمطار أكبر من التبخر - النتح الكامن (P>ETO) وفي ضوء ذلك تنقسم الزيادة المائية المتحققة إلى الجريان السطحي والتغذية الطبيعية للمياه الجوفية بعد تشبع التربة بالرطوبة، وفي حالة كون التساقط أقل من التبخر - النتح الكامن (P<ETO) فإن التبخر - النتح الحقيقى يكون مساوياً لكميّة التساقط.

(1) السمنى، محمد عوض: الموازنة المائية وتوزيع الأراضي الزراعية بشبه جزيرة سيناء العدد 41، ص 519.

(2) محمد الشمام، أيسير، مرجع سابق، ص 127.

**الجدول (2) التبخر الحقيقى المقدر والمحسوب لمحطات أعزاز وسد شهبا والمسلية
وإدلب ومعرة النعمان وحلب وكلس.**

الموسم	SEP	AUG	JULY	JUNE	MAY	APR	MAR	FEB	JAN	DEC	NOV	OCT	العنصر	المحطة
344.7	1.7	0.4	0.0	3.6	20.9	40.3	61.0	52.9	40.8	44.3	52.1	26.6	AE *	أعزاز
407.3	1.8	0.4	0.0	3.8	22.0	42.4	64.0	66.4	75.6	87.3	54.7	28.1	AE **	
242.4	0.0	0.0	0.0	0.5	8.5	21.5	41.2	53.2	35.2	41.3	27.2	13.8	AE *	سد شهبا
248.0	0.0	0.0	0.0	0.6	9.0	22.6	43.3	44.9	48.8	44.5	28.7	14.5	AE **	
277.6	2.7	0.4	0.1	1.9	18.0	35.0	48.6	43.4	30.8	35.8	40.1	20.9	AE *	المسلية
334.6	2.9	0.4	0.1	2.0	18.9	36.9	51.1	54.4	63.9	61.3	42.1	22.0	AE **	
261.0	1.6	0.0	0.0	3.4	14.8	28.1	52.1	41.6	27.7	32.8	40.8	18.0	AE *	معرة النعمان
358.4	1.7	0.0	0.0	3.6	15.6	29.6	54.7	64.2	80.8	71.5	42.9	19.0	AE **	
214.9	2.1	0.3	0.1	2.3	19.2	32.9	45.9	46.3	31.8	35.3	33.5	19.2	AE *	حلب
326.8	2.2	0.3	0.1	2.4	20.2	34.7	48.2	55.0	64.0	61.8	35.3	20.2	AE **	
421.0	3.0	38.0	38.0	38.0	38.0	38.0	38.0	38.0	38.0	38.0	38.0	38.0	AE *	كلس
476.1	3.2	1.1	2.1	8.4	27.4	56.8	79.5	77.1	89.9	92.3	58.8	40.0	AE **	

* AE : التبخر الحقيقى المقدر، ** AE : التبخر الحقيقى المحسوب.

(عمل الباحث بالاعتماد على بيانات الهيئة العامة للأرصاد الجوية)

3-جريان (Runoff) :

تعرض حوض قويق لفيضانات عددة (عينتاي، 1993) سجل منها منذ نهاية العهد العثماني فيضان كانون الأول وفيضان شباط وكلاهما حدث عام 1922، وفيضان عام 1952، وفيضان كانون الثاني عام 1969، وكذلك فيضان كانون الثاني عام 2012. تم الحصول على بيانات من وزارة الري ولكنها كانت قديمة تعود لمحطتين هما محطة أرشاف (Archaf) والتي تقع على المجرى الأعلى للنهر والتي كانت تقيس لمساحة إجمالي مساحة الحوض (1)، ومحطة شيخ سعيد (Shaikh said) التي تقع على مجراه الأدنى قرب محطة المعالجة جنوب مدينة حلب والتي كانت تقيس لمساحة 1109 كم² من إجمالي مساحة الحوض الجدول (1)، ومحطة شيخ سعيد (Shaikh said) التي تقع على مجراه الأدنى قرب محطة المعالجة جنوب مدينة حلب والتي كانت تقيس لمساحة 2398 كم² من إجمالي مساحة الحوض.

الجدول (3) التصريف الشهري لمحطة أرشاف بين عامي 1978 إلى 1981 (م³/ثا)

SEP	AUG	JUL	JUN	MAY	APR	MAR	Feb	Jan	DEC	NOV	OCT	الشهر
0	0	0	0.03	0.1	0.44	0.91	1.54	2.15	0.05	0	0	المتوسط
0	0	0	0	0	0	0	0.73	0	0	0	0	القيم الصغرى
0	0	0	0.17	0.48	1.59	3.48	2.22	6.97	0.18	0	0	القيم العظمى

الجدول (4) التصريف الشهري لمحطة أرشاف بين عامي 1975 إلى 1979 (م³/ثا)

SEP	AUG	JUL	JUN	MAY	APR	MAR	Feb	Jan	DEC	NOV	OCT	الشهر
0	0	0.01	0.02	0.25	1.1	0.97	2.02	0.46	0.01	0.27	0	المتوسط
0	0	0	0	0	0.02	0.06	0.07	0	0	0	0	القيم الصغرى
0	0	0.03	0.06	1.1	1.9	1.33	6.69	1.35	0.04	1.34	0.01	القيم العظمى

-4 عجز رطوبة التربة (Soil Moisture Deficit):

يحسب من الفرق بين التبخر النتح المحتمل وال حقيقي، فإذا زاد التبخر - النتح الكامن على التبخر النتح الفعلي دل ذلك على عجز في رطوبة التربة وحدوث العكس يدل على وجود فائض في رطوبتها⁽¹⁾.

الجدول (5) معدل عجز رطوبة التربة (ملم) لكل من محطات أعزاز وسد شهبا والمسلمية وإدلب ومعرة النعمان وحلب وكلس.

الستوى	SEP	AUG	JULY	JUNE	MAY	APR	MAR	FEB	JAN	DEC	NOV	OCT	المحطة
-1165	-209	-224	-222	-212	-143	-70	-15	14	35	43	31	-130	أعزاز
-1401	-236	-238	-241	-227	-168	-90	-33	-5	14	3	-34	-147	سد شهبا
-1327	-225	-258	-261	-245	-155	-70	-18	11	33	26	-33	-133	المسلمية
-1509	-250	-314	-324	-283	-187	-88	-15	23	53	39	-23	-139	معرة النعمان
-1439	-231	-270	-278	-259	-171	-84	-24	9	32	17	-44	-145	حلب
-1444	-268	-295	-295	-250	-165	-77	-8	24	51	42	-46	-158	كلس

(عمل الباحث).

(1) السمني، محمد عوض، مرجع سابق، ص 508 – 552

5- الزيادة المائية Water Surplus: يكون هنالك فائض مائي عندما يكون معدل الأمطار أعلى من معدلات التبخر - النتح الكامن.

$$P > ETO \text{ عندما } WS = P - ETO$$

حيث أنّ: WS : الزيادة المائية (ملم)، P : الأمطار (ملم)،
 ETO : التبخر - النتح الكامن (ملم).

6- العجز المائي Water Deficit

تشمل هذه الفترة الأشهر غير المطيرة حيث تزيد قيم التبخر - نتح الكامن على معدل الأمطار.

$$P < ETO \text{ عندما } WD = ETO - P$$

تشمل فترة الشح الأشهر من آذار ولغاية تشرين الثاني، والشكل (5) يوضح النقصان المائي الشهري بالطرق الأربع، وقد سجلت أعلى قيم النقصان المائي في شهر تموز وأدنى القيم في شهر آذار وذلك لكل الطرق.

الجدول (6) الزيادة المائية والعجز المائي لكل من محطات أعزاز وسد شهبا والمسلمية وإدلب ومعرة النعمان وحلب وكلس.

المنوي	SEP	AUG	JULY	JUNE	MAY	APR	MAR	FEB	JAN	DEC	NOV	OCT		المحطة
82.6	0.0	0.0	0.0	0.0	0.0	0.0	0.0	10.7	32.0	39.9	0.0	0.0	WS	أعزاز
1267	209.2	224.7	221.7	211.9	143.8	72.1	17.7	0.0	0.0	0.0	33.9	132.2	wd	
12.5	0.0	0.0	0.0	0.0	0.0	0.0	0.0	0.0	11.4	1.1	0.0	0.0	WS	
1426	236.0	238.1	241.3	226.6	168.6	91.1	34.6	6.9	0.0	0.0	35.2	147.5	wd	سد شهبا
53.4	0.0	0.0	0.0	0.0	0.0	0.0	0.0	0.0	30.5	22.8	0.0	0.0	WS	
1397	224.8	257.7	261.4	244.7	156.1	71.8	19.8	-8.5	0.0	0.0	34.9	134.2	wd	
106.0	0.0	0.0	0.0	0.0	0.0	0.0	0.0	19.9	50.3	35.8	0.0	0.0	WS	معرة النعمان
1631	249.9	313.9	324.1	283.5	187.4	89.6	17.4	0.0	0.0	0.0	24.9	140.3	wd	
59.5	0.0	0.0	0.0	0.0	0.0	0.0	0.0	6.2	29.5	23.8	0.0	0.0	WS	
1515	231.5	270.5	277.5	259.2	171.8	85.6	26.1	0.0	0.0	0.0	46.2	146.4	wd	حلب
108.1	0.0	0.0	0.0	0.0	0.0	0.0	0.0	20.8	48.3	39.0	0.0	0.0	WS	
1574	268.4	295.1	294.7	250.2	166.0	80.2	11.3	0.0	0.0	0.0	48.5	159.8	wd	
														كلس

(عمل الباحث).

7- تغذية المياه الجوفية :Ground Water Recharging

- حساب الجريان السطحي والتغذية الجوفية باستخدام معادلة (Dandekar and Sharma, 1989).⁽¹⁾

يمكن حساب تغذية المياه الجوفية بالاعتماد على كمية الأمطار الهاطلة السنوية ومساحة المنطقة المدرستة.

$$Rs = (P - 178) P / 2540$$

وحسب معدل التغذية السنوي (Annual Recharge) لحوض قويق من المعادلة التالية⁽²⁾:

$$G.W.R = A \times Re$$

حيث أن: Re: التغذية ملم، A: مساحة المنطقة.

بلغت قيمة الجريان السطحي 19.5 ملم باستخدام معادلة (Dandekar and Sharma, 1989) وبلغت قيمة Re السنوية 19.9 ملم، وكانت قيمة معدل التغذية السنوي (Annual Recharge) $116 \times 10^6 \text{ م}^3/\text{سنة}$.

- تقدير حجم الجريان السطحي والتغذية الجوفية باستخدام معادلة بيركلي: هي من المعادلات المهمة في الدراسات الهيدرولوجية وتحسب من المعادلة التجريبية الآتية⁽³⁾:

$$R = (CIS)^{0.5} (W/L)^{0.45}$$

حيث أن: R: حجم الجريان السنوي المتوقع مليار / م³، C: معامل الجريان، I: حجم الأمطار (مليار / م³)، S: معدل الانحدار (م / كم)، W: عرض الوادي (كم)، L: طول الوادي (كم). أما قيمة (C) فتحسب من معادلة (Khosla, 1960)⁽⁴⁾ على

(1) Dandekar, M. M. and Sharma, K. N: Water Power Engineering, P451.

. المرجع السابق، ص 451.

(3) حمادي، أحمد عبد الله أحمد: دور العمليات الجيوبورفولوجية في تشكيل المظهر الأرضي لجزيرة سقطري، ص 125.

(4) الجبوري، دلي خلف حميد: حوض وادي الفضا في المنطقة المتموجة من العراق دراسة في الهيدرولوجيا التطبيقية، ص 73.

النحو الآتي:

$$Lm = 0.48 Tm , Rm = P_1 - Lm , C = R_m / P_2$$

حيث أن: Rm : الجريان الشهري (سم)، P_1 : الأمطار الشهرية (سم)، Lm : الفواد الشهريّة (سم)، Tm : متوسط الحرارة الشهريّة (درجة مئوية)، P_2 : الأمطار السنوية (سم).

مع العلم أن حجم الأمطار فوق الحوض حسب باستخدام طريقة المتوسط الحسابي، وهي أبسط الطرق وتكون القيمة الوسطية لكميّة الهطل في كامل المساحة تساوي مجموع الهطولات في كافة المحطات مقسومة على عددها، وقد استخدمت البيانات المطرية لست وعشرين محطة مناخية.

$$\bar{X} = \frac{\sum x}{n}$$

$$\bar{X} = \frac{9359.27}{26} = 360 \text{ ملم}$$

حجم كميّة الأمطار بالوحدات المكعبية = متوسط كميّة الأمطار في الحوض
 $(\text{كم})^3 \times \text{مساحة الحوض } (\text{كم})^2 = \frac{360}{1000000} \times 5831 = 2.1 \text{ كم}^3$

وطبقت معادلة بيركلبي (Brickle) لتقدير حجم الجريان السطحي على الأشهر التي لم يحدث فيها عجزاً مائياً، وتبيّن بالحساب لعناصر المعادلة (C, A, W, S, I, L, R) أنها كانت ($0.07, 0.07 \text{ كم}^2, 2.07 \text{ مليار م}^3, 0.6 \text{ م}/\text{كم}, 41 \text{ كم}, 142.5 \text{ كم}, 0.18 \text{ مليار م}^3$ ، أما حجم التغذية للمياه الجوفية فهي تساوي الفرق بين حجم الأمطار الفائضة وحجم الجريان السطحي المحتسب، وبالتالي كان حجم الأمطار 2.1 مليار م^3 والجريان السطحي 0.18 مليار م^3 والتغذية الجوفية 1.92 مليار م^3 .

معادلة ديكنز (Dickens): وتحسب بالمعادلة الآتية⁽¹⁾:

$$Q_P = C_D A^{3/4}$$

(1) CWC: development of hydrological design aids (surface water) hydrology project-II, Annex4 ,P17.

حيث: Q_P : التصريف الأقصى للفيضان ($\text{م}^3/\text{s}$)، A: مساحة الحوض (كم^2),
 C_D : ثابت ديكنر (30 - 6).

معادلة رايف (Ryves) : وتحسب بالمعادلة الآتية⁽¹⁾:

$$Q_P = C_R A^{2/3}$$

حيث: Q_P : التصريف الأقصى للفيضان ($\text{م}^3/\text{s}$)، A: مساحة الحوض (كم^2),
 C_R : ثابت رايف ويأخذ القيمة 6.8 للمناطق التي تبعد بحدود (80) كم عن الساحل،
و8.5 للمناطق التي تبعد بحدود (160 - 80) كم عن الساحل و 10.2 لبعض المناطق
قرب الجبال.

معادلة إنجليس (Inglis) : وتحسب من المعادلة الآتية⁽²⁾:

$$Q_P = \frac{124A}{\sqrt{A+10.4}}$$

حيث: Q_P : التصريف الأقصى للفيضان ($\text{م}^3/\text{s}$)، A: مساحة الحوض (كم^2).

معادلة بيرد - ماكوارن (Bird-McWarn, 1951) : وتحسب بالمعادلة الآتية⁽³⁾:

$$Q_P = \frac{3010 A}{277+A^{0.78}}$$

حيث: Q_P : التصريف الأقصى للفيضان ($\text{م}^3/\text{s}$)، A: مساحة الحوض (كم^2).
ويوضح (الجدول 1) التصريف الأقصى m^3/s باستخدام كل من معادلة ديكنر ورايف
 وإنجليس وبيرد - ماكوارن، وسجل أعلى تصريف بالطريقة الأخيرة وأدنى تصريف
 بالطريقة الأولى.

(1) المرجع السابق، ص 43.

(2) المرجع السابق، ص 43.

(3)Raghunath, H.M. (2006): Hydrology: principles, analysis and design ; Wiley Limited, New Eastern Delhi, second edition. P231.

الجدول (7) يبين التصريف الأقصى للحوض.

اسم الصيغة	التصريف الأقصى $m^3/\text{ث}$
(Dickens)	668
(Ryves)	2753
(Inglis)	9513
(Bird-McWarn)	19642

(عمل الباحث).

معادلة فينكل (Finkel, 1979): يتم بهذه الطريقة حساب معدلات الفيضان العظمى وحجم الفيضان السنوى ومدة حدوث السيل بالساعة باستخدام معادلة (1)، التي تعتمد على ثلات احتمالات: الأول (10%) يعطى كمية تصريف كبيرة، والثانى يعطى كمية تصريف متوسطة (40%)، والثالث يعطى كمية تصريف صغيرة (80%).

$$Q_P = a A$$

$$R = b A$$

$$t = Q/R$$

حيث: A: مساحة الحوض وتساوي 5831 كم^2 (وذلك اعتماداً على ArcGIS بعد تحديد حدود الحوض)، وتكون قيمة a مساوية (0.01، 1.58، 4.3) وذلك عند الاحتمالات (10%， 20%， 80%) على التوالي بينما تكون قيمة b عند الاحتمالات السابقة (0.168، 0.265، 0.722) على التوالي، وقد أظهرت هذه المعادلة اختلافاً في القيم لمعدل الفيضان وحجم الفيضان عند الاحتمالات المختلفة كما يبين الجدول الآتى مع ثبات وقت حدوث السيل لكل الاحتمالات.

(1) Finkel, H. H: Water Resource in Arid Zone Settlement, A Case Study in arid Zone Settlement, P 461.

الجدول (8) يبين مخرجات معادلة فينكل.

الوقت اللازم لحدوث السيول (ساعة)	حجم الفيضان السنوي (m^3)	أقصى معدل للفيضان ($m^3/\text{ث}$)	الاحتمال %	b	a
0.06	979.6	58.31	80	0.17	0.01
0.06	154521.5	9212.98	10	26.5	1.58
0.06	420998.2	25073.3	2	72.2	4.3

(عمل الباحث).

ثانياً: نموذج سنايدر (Snyder's Model)

تعتبر طريقة سنايدر من أشهر الطرق الرياضية لتقدير قيمة التصريف المائي للأحواض، وبالرغم من تصميمه للبيئات الرطبة (الزهارني، 2008) إلا أنه يطبق على أحواض البيئات الجافة وشبه الجافة، وقد استخدم في دراسة أحواض المملكة العربية السعودية من قبل (الجعدي وبوروبة، 2006) لتقدير تدفق الذروة في حوض وادي العين بالخرج، واستخدمه (الفراء وبوروبة، 2008) لتقدير تدفق الذروة في حوض وادي حنفية.

ويستخدم في نموذج سنايدر عدة معادلات وهي¹:

كمية التدفق الأقصى للسيول في الحوض: Q_p ويرمز له Q_p ويقدر $m^3/\text{ث}$ ا وتحسب من خلال المعادلة الآتية:

$$Q_p = \frac{C_p A}{t_p}$$

حيث: Q_p : كمية التدفق الأقصى للسيول بالحوض المائي مقاسة $m^3/\text{ث}$ ا، C_p : معامل يرتبط بقابلية الحوض المائي لتخزين المياه ($6.5 - 2$)، A : مساحة الحوض المائي km^2 ، t_p : فترة استجابة الحوض المائي لهطول الأمطار (ساعة). ويتم الحصول على القيمة المحسوبة لفترة استجابة الحوض المائي لهطول الأمطار من المعادلة الآتية:

$$t_p = C_t (L_b L_{ca})^{0.3}$$

(1)Raghunath, H.M.(2006): Hydrology: principles, analysis and design; Wiley Limited, New Eastern Delhi, second edition: P. 150-287.

حيث: t_p : فترة استجابة الحوض المائي لهطول الأمطار (ساعة)، C_t : معامل خاص بطبيعة الحوض وانحداره ($0.2 - 2.2$)، L_b : طول المجرى الرئيسي كم، Lca : المسافة الفاصلة بين مصب الحوض المائي ومركز ثقله بالكم.

الفترة الزمنية المثالية لهطول الأمطار: ويرمز لها t_r وتحسب من المعادلة الآتية:

$$t_r = \frac{t_p}{5.5}$$

حيث: t_r : الفترة الزمنية المثالية لهطول الأمطار محسوبة بالساعة، t_p : فترة استجابة الحوض المائي لهطول الأمطار (ساعة)، 5.5 عدد ثابت.

فترة الأساس (زمن القاعدة للسائل): ويرمز له T_b وتحسب باليوم حسب المعادلة الآتية:

$$T_b = 3 + \frac{t_p}{8}$$

حيث: T_b الفترة الأساسية لحدوث السيل محسوبة باليوم، t_p : فترة استجابة الحوض المائي لهطول الأمطار (ساعة)، (3,8) أعداد ثابتة.

فترة الارتفاع التدريجي لتدفق السيل: ويرمز له T_m وهي الفترة التي يحتاجها الجريان السطحي للوصول إلى أعلى منسوب له وتحسب بالساعة وفق المعادلة الآتية:

$$T_m = 1/3 T_b$$

حيث: T_m : فترة الارتفاع التدريجي لتدفق السيل بالساعة، T_b الفترة الأساسية لحدوث السيل محسوبة باليوم.

فترة الانخفاض التدريجي لتدفق السيل: ويرمز لها T_d ويتم حسابها بالساعة وهي الفترة الزمنية اللازمة التي يحتاجها الجريان السطحي ليعود إلى وضعه الطبيعي وتحسب من المعادلة الآتية:

$$T_d = 2/3 T_b$$

حيث: T_d فترة الانخفاض التدريجي لتدفق السيل، T_b الفترة الأساسية لحدوث السيل محسوبة بالساعة.

التدفق الأقصى المناسب لفترة الارتفاع التدريجي لتدفق السيل: ويرمز له QT_m ، ويقدر $m^3/\text{ثا}$ ويتم من خلاله معرفة كمية تدفق السيل للفترة الزمنية التي يستغرقها السيل للوصول إلى أقصاه ويحسب بالمعادلة الآتية:

$$Q_{tm} = Q_p \left(\frac{T}{T_m} \right)$$

حيث: Q_{tm} كمية التدفق الأقصى المناسب لفترة الارتفاع التدريجي للسائل ($m^3/\text{ثا}$)، Q_p كمية التدفق الأقصى للسيول بالحوض المائي ($m^3/\text{ثا}$)،

T : الفاصل الزمني المحدد لتقدير الارتفاع التدريجي للتدفق محسوب بالدقائق أو الساعات.

التدفق الأقصى المناسب لفترة الانخفاض التدريجي لتدفق السيل: ويرمز له QT_d ، ويقدر $(m^3/\text{ثا})$ ويحسب بالمعادلة الآتية:

$$Q_{td} = Q_p \left(\frac{T_d - T}{T_d} \right)$$

حيث: QT_d كمية التدفق الأقصى المناسب لفترة الانخفاض التدريجي للسائل ($m^3/\text{ثا}$)، Q_p : كمية التدفق الأقصى للسيول بالحوض المائي ($m^3/\text{ثا}$)، Max تعني قيمة $Mean$ و Max و Min و T_d : فترة الانخفاض التدريجي لتدفق السيل بالساعة، T الفاصل الزمني المحدد لتقدير الانخفاض التدريجي للتدفق محسوب بالدقائق أو الساعات.

قيمة تدفق الذرة النوعي للحوض المائي: ويرمز له q_p ويتم تقديره ($m^3/\text{ثا}$)، ويحسب من المعادلة الآتية:

$$q_p = \frac{Q_p}{A}$$

حيث: q_p : قيمة تدفق الذرة النوعي للحوض المائي ($m^3/\text{ثا}$)، Q_p : كمية التدفق الأقصى للسيول بالحوض المائي ، A : مساحة الحوض كم².

حساب الفترة الزمنية المناسبة لارتفاع منسوب السيل عند مستوى W50: محسوبة بالساعة حسب المعادلة الآتية:

$$W_{50} = \frac{5.6}{q_p^{1.08}}$$

حيث: W50: الفترة الزمنية المناسبة لارتفاع منسوب السيل عند مستوى W50 محسوبة بالساعة، q_p : قيمة تدفق الذرة النوعي للحوض ($\text{م}^3/\text{ث}/\text{كم}^2$)، 5.6: عدد ثابت.

حساب الفترة الزمنية المناسبة لارتفاع منسوب السيل عند مستوى W75: محسوبة بالساعة حسب المعادلة الآتية:

$$W_{75} = \frac{3.21}{q_p^{1.08}}$$

حيث: W75: الفترة الزمنية المناسبة لارتفاع منسوب السيل عند مستوى W75 محسوبة بالساعة، q_p : قيمة تدفق الذرة النوعي للحوض ($\text{م}^3/\text{ث}/\text{كم}^2$)، 3.21: عدد ثابت.

حساب تركيز الأمطار المناسبة لتدفق الذرة: يرمز له i ويقدر (سم/ساعة)، ويحسب من المعادلة الآتية:

$$i = \frac{1}{T_r}$$

حيث: i : تركيز الأمطار المناسبة لتدفق الذرة محسوبة (سم/سا)، T_r : الفترة الزمنية المثلية لهطول الأمطار (ساعة)، 1: عدد ثابت.

حساب حجم تدفق السيل في الحوض: يرمز له AL ويقدر (مليون $\text{م}^3/\text{ث}$)، ويحسب من المعادلة الآتية:

$$AL = Q_p(T_m)$$

حيث: AL: حجم تدفق السيل في الحوض المائي محسوب مليون $\text{m}^3/\text{ث}$ ، Q_p : التدفق الأقصى للسائل ($\text{m}^3/\text{ث}$), T_m : فترة الارتفاع التدريجي لتدفق السيل (ث).

حساب عمق الجريان السطحي المناسب لذروة تدفق السيل: ويرمز له E ويقدر بالملم ويحسب من المعادلة الآتية:

$$E = Q_p \left(\frac{T_m}{S} \right)$$

حيث: E: سماك أو عمق الجريان السطحي المناسب لذروة تدفق السيل (ملم)،
Qpmax: قيمة كمية التدفق الأقصى للسيول بالحوض المائي مقاسة ($\text{م}^3/\text{s}$), حيث تعني
قيمة Maxi (Mean, Maxi, Mini) Qp فترة الارتفاع التدريجي لتدفق السيل (s), S
: مساحة الحوض km^2 .

حساب قوة السيل في الحوض: يرمز A ويحسب من المعادلة الآتية:

$$A = \frac{Q_p}{\sqrt{A}}$$

حيث: A: معامل قوة السيل، Qp: التدفق الأقصى للسيول (m^3/s), A: مساحة الحوض المائي km^2 .

يمكن إجمال نتائج نموذج سنایدر في (الجدول 3)، حيث أظهرت قيم Tp أن أدنى فترة زمنية يمكن أن يحدث عنها جريان سطحي بعد سقوط الأمطار هي 3.2 ساعة بينما كانت أقصى فترة زمنية ممكن أن تسقط فيها الأمطار هي 35.2 ساعة، وأدنى كمية للتدايق الأقصى لسيول الحوض $331 \text{ m}^3/\text{s}$, وسجلت أقصر فترة زمنية ممكن أن تسقط فيها الأمطار متسببة في حدوث جريان سطحي 0.58 دقيقة وأطول فترة زمنية 6.40 دقيقة، وكانت أقصر فترة أساس لحدوث السيل 3.4 يوم وأطول فترة 7.4 يوم، وبلغ أدنى ارتفاع تدريجي لتدفق السيل 27.3 ساعة وأقصى فترة 59.3 ساعة، في حين كانت أدنى فترة زمنية للانخفاض التدريجي لتدفق السيل 54.7 ساعة وأقصى فترة يستغرقها السيل للرجوع إلى الوضع الطبيعي 118.7 ساعة.

بلغت أدنى كمية تدفق للذروة $0.06 \text{ m}^3/\text{s}$ وأعلى كمية $2.03 \text{ m}^3/\text{s}$, وسجلت أدنى فترة زمنية مناسبة لارتفاع منسوب السيل 2.6 ساعة عند مستوى 50% و 1.5 عند مستوى 75% كما سجلت أعلى فترة زمنية مناسبة لارتفاع منسوب السيل 124 ساعة عند مستوى

1.6 50% و 71 عند مستوى 75%， وأدنى كمية أمطار ليظهر الجريان السطحي هي سـم/ساعة وأكبر كمية 17.2 سم/ساعة.

تبين أن أدنى حجم لتدفق السيول 71 مليون م³/ثا وأقصى حجم 1165 مليون م³/ثا، وأقل سـمك لمياه الجريان السطحي والمناسب لكمية التدفق الأقصى 9 مـلم بينما كان أكبر سـمك 316 مـلم، وبلغت أدنى قيمة لمعامل قوة السيول 4.34 وأعلى قيمة 155.

الجدول (9) يبيـن الـقيـم الـمحـسـوـبـة لـنمـوذـجـ سنـايـدرـ.

Mean	Max	Min	عناصر نموذج سنایدر	Mean	Max	Min	عناصر نموذج سنایدر
0.38	2.03	0.06	gp	19.2	35.2	3.2	tp (hr)
33.46	124	2.6	w50	2209	11844	331	Qp
19.2	71	1.5	w75	3.49	6.4	0.58	tr (hr)
4.7	17.2	1.6	I	5.4	7.4	3.4	Tb (day)
284	1165	71	AI	130	178	82	Tb (hr)
59	316	9	E	43.3	59.3	27.3	Tm (hr)
29	155	4.34	A	86.4	118.7	54.7	Td (hr)

الاستنتاجات:

- 1- أشارت القيم المقاسة والمحسوبة للجريان في الحوض إلى قيم متدنية وذلك نظراً لمساحة حوض قويق الكبيرة والتي بلغت 5831 كـم² ومعدل التبخر العالـي الذي بلـغ 1767 مـلم/سـنة كـمتوسطـ للمـحطـاتـ السـتـ المـدـرـوـسـةـ والتـسـرـبـ الكـبـيرـ نـتيـجـةـ سـيـطـرـةـ الصـخـورـ الرـسوـبـيـةـ عـلـىـ أـرـاضـيـ الـحـوـضـ وـقـلـةـ اـنـهـارـاتـ أـرـاضـيـهـ.
- 2- عند حساب تصريف النهر وتغذيته الجوفـيـةـ أـعـطـتـ المـعـادـلـاتـ التـجـرـيـيـةـ المستـخدـمـةـ تـبـاـيـنـاـ كـبـيـراـ فيـ الـقـيـمـ النـاتـجـةـ،ـ وـيـجـبـ الـعـلـمـ عـلـىـ وـضـعـ مـعـادـلـةـ تـمـثـلـ الـظـرـوفـ الـبيـئـيـةـ فـيـ سـوـرـيـةـ.

3- يتغير الصبيب السنوي في حوض قويق من سنة إلى أخرى نتيجة تغذيته المطرية المتغيرة، واختلاف توزع كمية الأمطار زمنياً ومكانياً في الفصل الماطر، وتعتبر الفترة من كانون الأول إلى شباط فترة زيادة مائية وبقي أشهر السنة فترة عجز مائي.

4- لا تشير البيانات المحسوبة بنموذج سنایدر إلى أي خطورة من سيل وادي قويق، نظراً ل المساحة الواسعة للحوض، واختلاف معدلات الهطل المطري مكانياً من شماله الغربي إلى جنوبه الشرقي، ووجود مجموعة سدود على مجراه، واتساع عرض الوادي في جزئه الأدنى.

المراجع:

- 1 أنور دببة، راميا: تقدير شدة وتواتر الجفاف وتأثيره في الانتاج الزراعي في مواقع مناخية مختلفة في غرب وشمال غرب سوريا، كلية الزراعة، جامعة تشرين، اللاذقية (رسالة ماجستير غير منشورة)، 2012.
- 2 البارودي، محمد سعيد: تقدير أحجام السيول ومخاطرها عند المجرى الاندى لوادي عرنة جنوب شرق مدينة مكة المكرمة، الجمعية الجغرافية المصرية، سلسلة بحوث جغرافية، العدد 48، 2012.
- 3 بوروبة، محمد فضيل: تقدير تدفق الذروة لسيول روافد وادي حنيفة الداخلة على غرب مدينة الرياض في المملكة العربية السعودية، بحث مقدم إلى ندوة إدارة الكوارث وسلامة المباني في الدول العربية، وزارة الشؤون البلدية والقروية، المملكة العربية السعودية، الرياض، 2008.
- 4 الجعدي، فرحان: تقدير تدفق الذروة لسيول في وادي العين بالخرج، بحث مقدم إلى الندوة الجغرافية التاسعة في جامعة الملك سعود، الرياض، 2006.
- 5 الزهراني، محمد: دراسة مناطق الفيضانات المحتملة في مناطق السهل الفيوضي لوادي قدونة، بحث مقدم إلى ندوة إدارة الكوارث وسلامة المباني في الدول العربية، وزارة الشؤون البلدية والقروية، المملكة العربية السعودية، الرياض، 2008.
- 6 السمني، محمد عوض: الموازنة المائية وتوزيع الأراضي الزراعية بشبه جزيرة سيناء (دراسة في جغرافية المناخ التطبيقي)، مجلة الإنسانيات، كلية الآداب، جامعة دمنهور، العدد 41، ص 508 – 552، 2013.
- 7 صبري محسوب، محمد: الجغرافية الطبيعية أسس ومفاهيم حديثة، منشورات جامعة القاهرة، دار الفكر العربي، 1996.
- 8 عبد السلام، عادل: الأقاليم الجغرافية السورية، منشورات جامعة دمشق، دمشق، 1990.

- عيسى، مريم: الموازنة المائية في سوريا وآفاقها المستقبلية من عام 1992-1993، 9
- 2009-2024 ولغاية 2025-2008. مجلة جامعة دمشق، 29(4+3)، ص ص 551-585.
- عينتابي، محمد فؤاد: حلب في مئة عام، معهد التراث العلمي العربي، الجزء الثالث، حلب، 1993.
- المعهد الجيورجي الحكومي لتصميم المنشآت المائية، الدراسات والتحريات الهيدرولوجية والهيدروجيولوجية للمناطق الاربعة في الجمهورية العربية السورية (منطقة حلب)، المؤسسة العامة للمشاريع الكبرى، المجلد 2، تبليسي، 1979.
- محمد الشمام، أيسر: الموازنة المائية لحوض أربيل الشمالي (شمال العراق). المجلة العراقية للعلوم، جامعة بغداد، العراق، بغداد، 48 (1)، 124-134، 2007.
- محمد صبري، سليم: الجغرافية الطبيعية (أسس ومفاهيم حديثة)، دار الفكر العربي، جامعة القاهرة، 1996.
- موسى، علي: التصحر، دار الأنوار، دمشق، 1991.
- 15- Brickle,P., Rodriguez, V. T. & Patrida, E. G: The Water Balance For The Basin Of The Valley Of Mexico And Future Water Consumption. Hydrogeology, Vol.6, 500-517, 1998.
- 16-CWC: Development Of Hydrological Design Aids (Surface Water) Hydrology Project-II, MINISTRY OF WATER RESOURCES, 447p, India, 2010.
- 17- Dandekar, M. M. and Sharma, K. N: Water Power Engineering. Vicas Publishing House Pvt.Ltd, 451p, New Delhi, 1989.
- 18- Domenico, P. A. and Schwartz, F. W: Physical and Chemical Hydrogeology. John Wiley and Sons Inc, New Yourk. 506P, 1998.
- 19-FAO: Crop water requirement. Irrigation and Drainage paper No.24, Rome United Nation, 1977.
- 20-Finkel, H. H: Water Resource in Arid Zone Settlement, A Case Study in arid Zone Settlement, Geolonged Progamm Press, P.P 440-473, 1979.
- 21- JICA (Japan International Cooperation Agency): The Study on Water Resources Development in the Northwestern and Central

- Basins of the Syrian Arab Republic (PHASE I). Published by Sanyou Consultants Inc and Yachiyo Engineering Co., LT, 1997.
- 22-Raghunath, H.M: Hydrology: principles, analysis and design; Wiley Limited , second edition. 477p, New Eastern Delhi, 2006.
- 23-UN-ESCWA and BGR (United Nations Economic and Social Commission for Western Asia; Bundesanstalt für Geowissenschaften und Rohstoffe). Inventory of Shared Water Resources in Western Asia. Beirut, 2013.
- 24- Willcox, G and Buxo, R: Early Holocene cultivation before domestication in northern Syria. P.P 151-158, 2008.